

تأثیر کودهای نانو کلات آهن و منگنز بر عملکرد و اجزای عملکرد ماش تحت شرایط تنش کمبود آب

بیزان ایزدی^{۱*} - سید علی محمد مدرس ثانوی^۲

تاریخ دریافت: ۱۳۹۶/۱۰/۲۱

تاریخ پذیرش: ۱۳۹۷/۰۳/۲۰

چکیده

به منظور بررسی اثر محلول پاشی نانو کود کلات آهن و منگنز در کاهش اثرات کمبود آب بر عملکرد دانه، عملکرد پروتئین و برخی خصوصیات کمی گیاه ماش رقم پرتو، آزمایشی به صورت کرت های خرد شده بر اساس طرح پایه بلوک های کامل تصادفی با سه تکرار در سال زراعی ۱۳۹۲-۹۳ در مزرعه تحقیقاتی دانشکده کشاورزی دانشگاه تربیت مدرس انجام شد. در این تحقیق تشکیل کم آبی به عنوان عامل اصلی در سه سطح شامل بدون قطع آبیاری (آبیاری مطلوب)، قطع آبیاری در مرحله زایشی (تشکیل پنجمین برگ سه برچه ای، گل دهی) تا وقتی که ۷۰٪ ظرفیت زراعی تخلیه گردد، قطع آبیاری در مرحله روبیشی (ارتفاع ۱۲-۱۶ سانتی متری، رشد اولیه) تا وقتی که ۷۰٪ ظرفیت زراعی تخلیه گردد و محلول پاشی به عنوان عامل فرعی در ۱۰ سطح شامل تیمار بدون محلول پاشی، محلول پاشی آب خالص (مقطمر)، محلول پاشی کودهای نانو کلات شامل: آهن یک در هزار، آهن سه در هزار، منگنز ۱/۵ در هزار، منگنز سه در هزار، آهن یک در هزار + منگنز ۱/۵ در هزار، آهن سه در هزار و منگنز ۱/۵ در هزار و آهن سه در هزار و منگنز سه در هزار در نظر گرفته شد. نتایج نشان داد که اثر کمبود آب و محلول پاشی نانو کلات آهن و منگنز بر اکثر صفات مورد بررسی در سطح احتمال یک درصد معنی دار بود. در میان سطوح تنش کم آبی، کمترین میزان عملکرد و اجزای عملکرد برای اکثر صفات مورد مطالعه، اعمال تنش در مرحله زایشی و بیش ترین مقدار آن در تیمار شاهد (آبیاری مطلوب) مشاهده شد. نتایج نشان داد که محلول پاشی سطوح مختلف نانو کلات آهن و منگنز در مراحل روبیشی و زایشی موجب افزایش میزان عملکرد و اجزای عملکرد خصوصاً در مرحله رشد روبیشی شد حال آن که تیمار شاهد محلول پاشی (بدون محلول پاشی) کمترین میزان عملکرد و اجزای عملکرد را داشت. همچنین، اثرات متقابل نانو کلات آهن و منگنز و سطوح مختلف تنش کمبود آب بر همهی صفات مورد مطالعه در سطح احتمال یک درصد معنی دار بود. قطع آبیاری در مرحله زایشی موجب کاهش و استفاده از نانو ذرات به ویژه تیمار نانو کلات ۱ در هزار آهن + ۳ در هزار منگنز موجب افزایش میزان عملکرد دانه (۱۷۶۵ کیلوگرم در هکتار) و عملکرد پروتئین ۵۱۹/۲ کیلوگرم در هکتار) گردید. بنابراین، به نظر می رسد عوارض جانبی ناشی از کمبود آب می تواند با محلول پاشی نانو کلات آهن و منگنز کاهش یابد.

واژه های کلیدی: تنش رطوبتی، حبوبات، عملکرد پروتئین، عملکرد دانه

مقدمه

Vigna را در دنیا به خود اختصاص داده اند. ماش با نام علمی Radiata L. Wilczek گیاهی از خانواده بقولات می باشد که نسبت به سایر حبوبات از لحاظ سطح زیر کشت و تولید در برخی کشورها و نیز در مقیاس جهانی از درجه ای اهمیت بالاتری برخوردار است. در ایران نیز کشت حبوباتی چون ماش به واسطه ای داشتن ۲۲ تا ۲۸ درصد پروتئین از منبع گیاهی اهمیت بیشتری نسبت به سایر حبوبات دارد (Khodabakhsh et al., 2011). سطح زیر کشت ماش در دنیا حدود ۵/۳ میلیون هکتار و تولید سالانه‌ی آن ۲/۳ میلیون تن است. در ایران نیز سطح زیر کشت این گیاه حدود ۲۶/۳۰۰ هکتار و تولید سالانه‌ی آن ۲۶/۶۰۰ تن می باشد (Firouzabadi and Farahani, 2011).

حبوبات سومین خانواده از گیاهان گل دار پس از خانواده کاسنی و ثعلبیان است (Smartt, 1990) که شامل بیش از ۷۳۰ جنس و ۱۹۰۰ گونه با توزیع گسترده در جهان می باشد (Graham and Carroll, 2003). از لحاظ اقتصادی، حبوبات پس از غلات در رده دوم تولید محصولات زراعی هستند و ۲۷٪ از تولید محصولات غذایی

۱- دانشجوی دکتری، گروه زراعت، دانشکده کشاورزی، دانشگاه شهید چمران اهواز

۲- استاد، گروه زراعت، دانشکده کشاورزی، دانشگاه تربیت مدرس تهران

(Email:izady.nike70@gmail.com) - نویسنده مسئول:

استفاده از فناوری نانو در کلیه عرصه‌ها از جمله کشاورزی در حال گسترش می‌باشد. فرآورده‌های نانو شامل مخلوطی از ذره‌های با ابعاد بین ۱ تا ۱۰۰ نانومتر هستند که می‌توانند خصوصیات فیزیکوکمیابی مواد اولیه خود را تغییر دهند (Monica and Cremonini, 2009).

گزارش‌های پراکنده‌ای در مورد اثر عناصر آهن و منگنز در افزایش عملکرد ماش وجود دارد و نتایج مطالعات موجود بیانگر واکنش متفاوت گونه‌های مختلف گیاهان به مواد غذایی تهیه شده به شکل نانو می‌باشد (Zhu et al., 2008). اما مطالعه‌ای در مورد اثر این عناصر هنگام بروز تنفس کم‌آبی و نقش آن‌ها روی عملکرد کمی و کیفی گیاه ماش صورت نگرفته است. با توجه به این که اثر محلول‌پاشی این عناصر در شرایط تنفس کم‌آبی روی ماش مطالعه نشده است، این تحقیق برای درک جنبه‌های مختلف اثر محلول‌پاشی نانو کلات آهن و منگنز بر کمیت و کیفیت ماش تحت تنفس کم‌آبی صورت گرفت.

مواد و روش‌ها

تحقیق حاضر در مزرعه تحقیقاتی دانشکده کشاورزی داشگاه تربیت‌مدرس تهران با موقعیت طول جغرافیایی ۵۱ درجه و ۴۳ دقیقه شمالی و عرض جغرافیایی ۳۵ درجه و ۸ دقیقه شرقی و ۱۲۱۵ متر ارتفاع از سطح دریا در سال زراعی ۱۳۹۲-۹۳ انجام شد. بهمنظور تعیین بافت خاک، میزان عناصر معدنی (نیتروژن، آهن و منگنز) درصد کربن آلی و pH خاک از عمق صفر تا ۳۰ و ۳۰ تا ۶۰ سانتی‌متری خاک به روش زیگزاگ نمونه‌برداری شد. نتایج آزمایش خاک نشان‌دهنده آن بود که خاک مزرعه بافتی شنی-لومی داشت و میزان ماده آلی، نقطه پژمردگی و درصد نیتروژن کل خاک به ترتیب برابر ۰/۲۳۲، ۰/۱۳۴ و ۰/۶۷۸ پی‌ام بود. همچنین غلظت عناصر آهن و منگنز برابر با ۴/۶۷ و ۶/۴ پی‌ام بود. همچنین، آمار و اطلاعات هواشناسی منطقه آزمایشی در جدول ۱ نشان داده شده است.

2013). قسمت اعظم ماش در کشورهای در حال توسعه یعنی مناطقی که کم و بیش با تنفس خشکی مواجه هستند تولید می‌شود. تولید قبل اطمینان در اکثر این مناطق وابسته به حداقل آبیاری است با این وجود منابع آبی محدود هستند (Rhode, 1999).

کشور ایران با متوسط بارش ۲۴۰ میلی‌متر در زمرة مناطق خشک و نیمه‌خشک جهان طبقه‌بندی می‌گردد (Cakmak, 2000). به دلیل ویژگی‌های خاص مناطق نیمه‌خشک از جمله میزان کم بارندگی، پراکنش نامنظم آن و دمای بالا سبب شده است تا آب به عنوان اولین عامل محدودکننده تولید ماش در این مناطق معرفی گردد. بنابراین، در مناطق کم‌باران مانند ایران، در برنامه‌ریزی آبیاری بایستی به بازدهی آب مصرف شده برای آبیاری به طور جدی توجه شود (El Hafid et al., 1998).

تعذیبی مناسب گیاهان در مقاومت آن‌ها به انواع تنفس‌های زنده و غیرزنده نقش بسیار مؤثری دارد. گیاهی که خوب تعذیب شده و به مقدار کافی عناصر کم‌صرف و پرمصرف را دریافت کرده باشد، مقاومت بهتری به خشکی خواهد داشت و در این راستا کمیت و کیفیت محصول نیز تحت تأثیر قرار خواهد گرفت (Taiz and Zeiger, 2002). عنصر آهن به عنوان عامل اکسایش و کاهش در بخشی از ساختمان ناقلانی که در ترافستی الکترون دخالت دارند نظیر سیتوکروم‌ها و پروتئین‌های غیر هم که در فتوسنتز، تنفس و ثبت نیتروژن نقش دارند، وجود دارد (Taiz and Zeiger, 2002).

نقش این عنصر در ثبت نیتروژن به خوبی مورد بررسی قرار گرفته است (Balakrishnan, 2000; Ruiz et al., 2000; Welch et al., 1999). منگنز در فعال‌سازی واکنش‌های متابولیکی مهم در گیاهان، تسريع در جوانه‌زنی و رسیدگی گیاه، افزایش قابلیت دسترسی به فسفر و کلسیم، شرکت در واکنش‌های اکسیداسیون و احیاء و سیستم‌های انتقال الکترون، جزء ساختمانی متالوپروتئین‌ها، کمک به متابولیسم آهن و آسمیلاسیون نیترات، افزایش مقاومت گیاهان به تنفس‌های زنده و غیرزنده و ثبت نیتروژن در بقولات نقش مهمی را برعهده دارد (Fageria and Baligar, 2001).

جدول ۱ - متوسط دمای ماهانه، میانگین سرعت باد ماهانه و میزان بارندگی در طی فصل رشد گیاه ماش در سال ۱۳۹۳

Table 1- The average of monthly temperature, monthly mean wind speed and precipitation during the growing season mung bean plant in 2013

ماه Month	فروردين March	اردیبهشت April	خرداد May	تیر June	مرداد July	شهریور August	مهر September
میانگین دمای ماهانه (°C)	14.2	15.9	21.5	27.7	31.7	30.8	29.6
Average monthly temperatures (m s ⁻¹)	2.7	2.3	2.9	2.5	3.0	2.3	3.2
Average monthly wind speed (mm بارندگی ماهانه)	6.0	6.4	7.5	0	0	0	0
Monthly rainfall							

آزمایش خاک و غنی بودن خاک مزروعه از نظر فسفر و پتاسیم (به ترتیب ۲۲ و ۳۱۴ پی بی ام)، نیازی به کودپاشی زمین در زمان تهیه بستر نبود. کود نیتروژن به میزان ۳۰ کیلوگرم در هکتار به فرم اوره (استارتر) هنگام کاشت، قبل از آبیاری داده شد. مبارزه با علفهای هرز نیز به صورت وجین دستی در طول دوره رشد انجام شد. در تیمار آبیاری مطلوب (عدم اعمال تنش کم‌آبی) آبیاری کرت‌ها به میزان لازم و با توجه به توصیه‌های موجود مبنی بر وجود حداقل دو مرتبه آبیاری در هفته برای ماش، دور آبیاری سه روز در نظر گرفته شد (Uddin and Parvin, 2013). تیمار تنش کم‌آبی در دو مرحله‌ی تنش، مرحله رشد رویشی، ابتدای ظهور برگ چهارم (استقرار کامل گیاه) تا هنگام ظهور اولین گل بر روی گیاه ادامه داشت و با ظهور گلدهی این تیمار هم‌زمان با تیمار شاهد آبیاری شد، همچنین تیمار اعمال تنش در مرحله رشد زایشی از ابتدای گلدهی تا رسیدگی ۹۵ درصد غلاف‌ها اعمال شد (Uddin and Parvin, 2013). میزان پتانسیل رطوبتی خاک با توجه به درصد رطوبت حجمی (اعداد به دست آمده از TDR) در زمان تنش که با دستگاه TDR اندازه‌گیری شده بود، محاسبه شد. برای کالیبره کردن دستگاه TDR بدین ترتیب عمل شد که قبل از کار گذاشتن لوله‌های TDR مزروعه آبیاری گردید. این رطوبت‌سنج‌ها در یک نقطه برای هر کرت، به فواصل عرضی ۳/۶ متر (با توجه به فاصله‌ی کرت‌ها از یکدیگر) در نظر گرفته شدند. در هر نقطه یک رطوبت‌سنج، در عمق ۲۴ تا ۳۰ سانتی‌متر، نصب شد. برای نصب رطوبت‌سنج‌ها ابتدا به وسیله‌ی آگر، حفره‌هایی با ابعاد متناسب با اندازه رطوبت‌سنج در زمین حفر و بعد از قرار دادن رطوبت‌سنج‌ها در عمق‌های مشخص، نسبت به پر کردن و متراکم کردن خاک حفره‌ها تا حصول تراکم زمین در حالت اولیه اقدام شد. در این مرحله، برای ارزیابی دقیق حسگرهای اقدام به نمونه‌برداری از خاک و تعیین رطوبت آن شد. این آزمایش در خاکی با یافته لومی‌شنی انجام گرفت. هم‌زمان با داده‌برداری از رطوبت خاک با استفاده از TDR اقدام به ثبت داده‌ها (هر ۲۴ ساعت یکبار به مدت ۱۵ روز) گردید. نمونه خاک از عمق معادل طول میله (۲۴ تا ۳۰ سانتی‌متر) هر یک از حسگرهای با استفاده از مته خاک صورت گرفت و مقدار رطوبت با روش توزین اندازه‌گیری شد. این کار با ۱۵ نوبت داده‌برداری ادامه یافت. چگالی ظاهری هر یک از نمونه‌های خاک، بعد از پایان این مرحله هر یک با سه تکرار از روش sand bottle و در همان عمق اندازه‌گیری شد تا برای تبدیل رطوبت وزنی به رطوبت حجمی مورد استفاده قرار گیرد. در آزمایشگاه میزان رطوبت وزنی، درصد رطوبت حجمی (حاصل ضرب درصد رطوبت وزنی در وزن مخصوص ظاهری خاک ۱/۴۱ گرم بر سانتی‌متر مکعب بر اساس آزمون خاک) اندازه‌گیری و درصد آب قابل استفاده (D) بر اساس معادله ۱ (Martin et al., 1991) تعیین و سپس با استفاده از معادله ۲ درصد تخلیه آب قابل استفاده محاسبه شد.

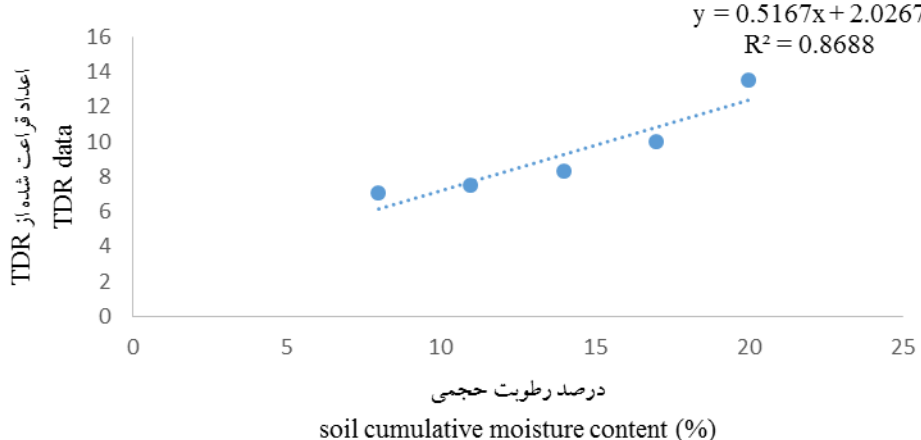
آزمایش به صورت کرت‌های خردشده در قالب طرح بلوک‌های کامل تصادفی با عامل تنش کم‌آبی در کرت‌های اصلی با سه سطح شامل بدون قطع آبیاری (آبیاری مطلوب)، قطع آبیاری در مرحله زایشی (تشکیل پنجمین برگ سه برجه‌ای، گل‌دهی) تا وقتی که٪ ۷۰ ظرفیت زراعی تخلیه گردد، قطع آبیاری در مرحله رویشی (ارتفاع ۱۲-۱۶ سانتی‌متری، رشد اولیه) تا وقتی که٪ ۷۰ ظرفیت زراعی تخلیه گردد (Uddin and Parvin, 2013) و عامل محلول‌پاشی در کرت‌های فرعی با ۱۰ سطح شامل تیمار بدون محلول‌پاشی، محلول‌پاشی آب خالص (مقطار)، محلول‌پاشی کودهای نانو کلات شامل: آهن ۱ در هزار، آهن سه در هزار، منگنز ۱/۵ در هزار، منگنز سه در هزار، آهن ۱ در هزار + منگنز ۱/۵ در هزار، آهن ۱ در هزار + منگنز ۱/۵ در هزار و آهن سه در هزار و منگنز سه در هزار و منگنز سه در هزار ایزات و همکاران (Ezzat et al., 2012)، در دو مرحله به فاصله‌ی دو هفته از هم به دلیل اجتناب از اثر سمیت احتمالی غلظت بالای آن‌ها (قبل و بعد از اعمال تنش در هر مرحله رشد رویشی و رشد زایشی) انجام شد. محلول‌پاشی کرت بدون تنش کم‌آبی هم‌زمان با کرت‌های دارای تنش رویشی انجام شد (Maleki Farahani et al., 2015) سمیت آهن و منگنز در گیاه مشاهده نشد. نانوکلات آهن و منگنز حلایل بسیار بالایی در آب دارند و بهراحتی از برگ‌ها جذب می‌شوند. کود نانو کلات آهن ۹ درصد و منگنز ۱۲ درصد نیز پس از بررسی و تأیید مقیاس آن توسط شرکت کارآفرینی و فناوری ایران (کارگزار ستاد و پژوهه توسعه فناوری نانو) از شرکت خضراء خردباری شد. بر اساس درصد آهن موجود در کودها، نتایج آنالیز خاک و نیاز گیاه ماش (Ezzat et al., 2012) تیمارهای محلول‌پاشی طراحی گشت. برای محلول‌پاشی از سمپاش بادی پشتی با فشار دائم به حجم ۱۲ لیتر استفاده شد. نوع نازل سمپاش از نوع مارپیچی با طرح پاشش مخروط توپر و میزان پاشش ۱/۰ لیتر در مترمربع (۱۰۰۰ لیتر در هکتار) بود. عملیات آماده‌سازی زمین به وسیله‌ی شخم، دیسک و ایجاد کرت انجام شد. ابتدا زمین مورد نظر توسط گاو‌آهن برگردان دار به عمق ۱۵ سانتی‌متر شخم زده شد و سپس به منظور خردکردن کلخه‌ها و نرم کردن زمین، عملیات دیسک‌زنی دوبار و به صورت عمود برهم انجام شد. بدوز مورد استفاده در این تحقیق ماش رقم پرتو بوده که از موسمی پاکان بذر اصفهان تهییه و در تاریخ ۲۳ اردیبهشت‌ماه سال ۱۳۹۲ در مزرعه تحقیقاتی دانشکده کشاورزی دانشگاه تربیت مدرس کشت شد. در هر تکرار سه کرت اصلی به فاصله‌ی دو متر از هم و ۳×۱۰=۳۰ کرت فرعی ایجاد شد. هر کرت شامل پنج ردیف کشت به فاصله ۶۰ سانتی‌متر بود. طول هر ردیف سه متر و بین هر دو کرت نیز یک ردیف نکاشت (به فاصله ۶۰ سانتی‌متر) در نظر گرفته شد. فاصله بوتدها روی ردیف‌های کشت، ۱۰ سانتی‌متر بود. با توجه به

خاک در نقطه پژمردگی دائم (پتانسیل رطوبتی معادل ۶/۷۸ درصد وزنی و ۹/۵۶ درصد حجمی قرائت شده توسط دستگاه TDR) می‌باشد. از مقایسه رطوبت‌های اندازه‌گیری شده بهوسیله حسگرها با روش نمونه‌برداری و توزین، اعتبارسنجی صورت گرفت (Vanclooster *et al.*, 1994). سپس بر اساس داده‌های حاصل از رطوبت حجمی خاک و اعداد قرائت شده TDR، منحنی رطوبت خاک رسم گردید.

$$D(\%) = \frac{1}{n} \sum_{i=1}^n \frac{FC_i - \theta_i}{FC_i - W_p} \times 100 \quad (1)$$

$$= 100 - D = \text{تخليه آب قابل استقاده (\%)} \quad (2)$$

که در آن n تعداد نمونه خاک گرفته شده از عمق مؤثر توسعه ریشه، FC_i رطوبت خاک در ظرفیت مزرعه (پتانسیل رطوبتی معادل ۱۶ درصد وزنی و ۲۲/۵۶ درصد حجمی قرائت شده توسط دستگاه TDR) در نمونه i ام، θ_i رطوبت خاک در نمونه i ام و W_p رطوبت



شکل ۱- منحنی رطوبت خاک به‌دست آمده از اعداد قرائت شده بهوسیله دستگاه TDR و درصد رطوبت حجمی نمونه‌برداری. محور عمودی چپ اعداد قرائت شده بهوسیله دستگاه TDR و محور افقی درصد رطوبت حجمی نمونه به‌دست آمده توسط آون نشان می‌دهد. رگرسیون خطی نقاط که با خطوط بریده آبی نشان داده شده است روی دو محور قابل استناد می‌باشد.

Figure 1- Soil moisture curve from TDR data and soil cumulative moisture content (%). Vertical axis: TDR data, Horizontal axis: Volumetric Soil water content (%) using oven. Blue colored regression line of the three axis is the reference of the graph

اندازه‌گیری شد (Torabian and Zahedi, 2013).

برای تعیین درصد پروتوئین دانه، ابتدا با روش اندوفنل آبی (Novozamsky *et al.*, 1974) میزان نیتروژن موجود در بذر بهوسیله دستگاه اسپکتروفوتومتر (مدل 6 GBC-Cintra) ساخت کشور Australia (اندازه‌گیری شد. سپس میزان پروتوئین با ضرب میزان نیتروژن در عدد ۶/۲۵ محاسبه گردید و عدد به‌دست آمده در عملکرد دانه در هکتار ضرب شده و عملکرد پروتوئین به‌دست آمد (Novozamsky *et al.*, 1974).

تجزیه‌ی آماری

تجزیه واریانس داده‌ها بهوسیله نرم‌افزار SAS 9.4 (Institute, 1985) و دستور ANOVA بهصورت آزمایش کرت‌های خردشده (اسپلیت‌پلات) در قالب طرح پایه بلوک‌های کامل تصادفی با سه تکرار انجام شد. میانگین‌ها با آزمون LSD در سطح احتمال ۵ درصد مقایسه شدند. همچنین رسم شکل‌ها با کمک نرم‌افزار Excel

همچنین در پایان دوره‌ی رشد از هر کرت تعداد پنج بوته (۰/۳ متر مربع) بهصورت تصادفی و با در نظر گرفتن اثر حاشیه و به هنگام رسیدگی فیزیولوژیک دانه برای محاسبه عملکرد و اجزای عملکرد برداشت گردید.

تجزیه‌های بیوشیمیابی

جهت اندازه‌گیری میزان آهن و منگنز دانه‌ها، ابتدا از نمونه‌ها آرد تهییه کرده، سپس مقدار یک گرم از آرد خشک شده در دمای ۷۵ درجه سانتی‌گراد به مدت ۴۸ ساعت خاکستر تهییه شد (دمای ۵۵۰ درجه سانتی‌گراد به مدت ۶ ساعت). نمونه خاکسترها در ۱۰ سی سی اسید کلریدریک ۲ نرمال حل شده و به مدت ۳۰ دقیقه روی هاتپلات در دمای ۷۵ درجه سانتی‌گراد قرار گرفتند. سپس نمونه‌ها را با آب مقطر به حجم ۱۰۰ سی سی رسانده و با کاغذ صافی، صاف شدند. از نمونه‌های صاف شده به مقدار لازم برداشته و میزان آهن و منگنز با استفاده از دستگاه جذب اتمی مدل (Perkin-Elmer, 3030)

جدول ۲- تجزیه واریانس (میانگین محولات) علاوه بر اجزای علاوه بر تحت تاثیر نهش کیمی و محلول پاشی نازو آهن و مکنزی

Table 2- Analysis variance (mean squares) of yield and yield components under water deficit stress and spraying iron and manganese

* and **: significant at the 5% and 1% levels of probability, respectively
و: بدترتب به وجود اختلاف معنی دار در سطح احتمال ۵ و ۱ درصد می باشند.

جدول ۳- میانسیمه میانگین اثارات متقابل صفات اندازه‌گیری شده در آزمایش

Table 3- Mean comparison of Interaction effects of measured traits in experiment

تنش کم‌آبی (Water deficit stress)	محول پاشی (Foliar application)	وزن خشک برگ (g.m ⁻²)	وزن خشک ساقه (g.m ⁻²)	وزن خشک غلاف با بذر (g.m ⁻²)	تعداد بذر در غلاف دانه	تعداد دانه غلاف	وزن هزار دانه	عملکرد دانه	درصد بروشین	عملکرد دانه	میزان آهن دانه	
		Number of leaf per m ²	Leaf dry weight (g.m ⁻²)	Stem dry weight (g.m ⁻²)	Dry weight of pods with seeds (g.m ⁻²)	Number of seeds per pod	Number of seeds (m ²)	1000 Seed Weight (gr)	Yield (kg.ha ⁻¹)	Seed Protein (%)	Protein yield (kg.ha ⁻¹)	Fe (mg.kg ⁻¹)
	(Without foliar application) (Foliar application pure)	168.0 ^j 154.66 ^{e-k}	86.66 ^{d-i} 84.0 ^{b-k}	60.0 ^{b-o} 358.67 ^{ed}	270.67 ^{d-h} 9.0 ^{gh}	10.33 ^{ef} 6395 ^{f-k}	7264 ^h 55.46 ^a	27.86 ^{c-j} 1218.67 ^{e-fg}	1125.33 ^{e-fg} 24.03 ^d	23.75 ^{de} 291.96 ^{def}	267.30 ^{e-i} 76.48 ^{abc}	
	(1 in 1000 a nano-Fe chelate)	437.33 ^a	268.53 ^a	427.5 ^a	338.80 ^{def}	12.33 ^{ab}	10104 ^{cd}	28.30 ^{cl}	1092.0 ^{gh}	26.73 ^{bc}	291.93 ^{def}	80.61 ^a
	(3 in 1000 a nano-Fe chelate)	172.0 ^{e-j}	136.13 ^{b-c}	122.67 ^{e-fg}	439.6 ^{bc}	12.66 ^a	13999 ^{ab}	26.90 ^{f-l}	1657.33 ^{ab}	26.0 ^c	430.93 ^b	78.44 ^{ab}
	(1.5 in 1000 a nano-Mn chelate)	216.0 ^{def}	96.0 ^{def}	100.40 ^{ghi}	358.26 ^{cd}	11.66 ^{a-d}	11107 ^{cd}	24.06 ^{kl}	1224.0 ^{def}	27.30 ^b	334.30 ^{ed}	76.27 ^{cd}
	(3 in 1000 a nano-Mn chelate)	153.33 ^{e-k}	136.0 ^{bc}	66.66 ^{j-n}	208.0 ^{fg-m}	10.66 ^{def}	5955 ^{f-k}	35.43 ^{c-g}	1146.67 ^{efg}	28.71 ^a	329.26 ^{cde}	77.67 ^{abc}
	(1 in 1000 a nano-Fe + 1.5 in 1000 a nano-Mn chelate)	302.66 ^c	260.0 ^a	308.6 ^b	529.73 ^b	12.66 ^a	16545 ^a	24.20 ^{kl}	1346.67 ^{cde}	29.15 ^a	392.63 ^{bc}	78.13 ^{ab}
	(Optimum irrigation)	169.33 ^{e-j}	106.66 ^{cde}	90.66 ^{hij}	350.67 ^{cde}	11.33 ^{b-e}	9237 ^{de}	38.33 ^{cd}	1765.33 ^a	29.41 ^a	519.16 ^a	77.53 ^{abc}
	(3 in 1000 a nano-Fe + 1.5 in 1000 a nano-Mn chelate)	178.66 ^{d-i}	104.0 ^{cde}	84.93 ^{h-k}	354.8 ^{cdf}	11.0 ^{e-f}	8603 ^{d-g}	36.46 ^{cde}	1122.67 ^{e-fg}	29.40 ^a	330.20 ^{cde}	77.59 ^{abc}
	(3 in 1000 a nano-Fe + 3 in 1000 a nano-Mn chelate)	233.33 ^d	153.20 ^p	146.67 ^{de}	174.8 ^{i-m}	11.33 ^{b-e}	4023 ^{kl}	41.70 ^{bc}	672.0 ^{lmm}	23.15 ^e	154.66 ^{k-p}	71.84 ^{c-f}
	(Without foliar application) (Foliar application pure)	108.0 ^k	54.80 ^{h-k}	37.46 ^o	153.73 ^{lm}	11.66 ^{a-d}	3965 ^{kl}	38.43 ^{cd}	376.0 ^o	24.12 ^f	90.76 ^p	58.33 ^{ij}
	(1 in 1000 a nano-Fe chelate)	124.0 ^{ijk}	88.66 ^{d-h}	109.46 ^{fh}	279.60 ^{d-g}	11.66 ^{a-d}	8575 ^{dg}	26.66 ^{gl}	513.33 ^{no}	26.26 ^d	134.73 ^{lop}	73.83 ^{b-e}
	(3 in 1000 a nano-Fe chelate)	220.0 ^{de}	92.66 ^{d-g}	96.0 ^{ghi}	156.53 ^{h-m}	11.33 ^{b-e}	6759 ^{ej}	25.70 ^{jl}	846.67 ^{jm}	26.01 ^d	220.23 ^{gl-k}	79.38 ^{ab}
Water deficit at Reproductive stage	(1.5 in 1000 a nano-Mn chelate)	157.33 ^{f-k}	84.20 ^{d-i}	78.53 ^{j-n}	274.0 ^{d-h}	8.0 ^h	9028 ^{def}	21.36 ^{kl}	772.0 ^{km}	27.53 ^e	212.23 ^{hi}	78.09 ^{ab}
	(3 in 1000 a nano-Mn chelate)	122.66 ^{ijk}	72.80 ^{e-k}	80.67 ^{h-l}	256.0 ^{e-i}	10.0 ^{fg}	6993 ^{ei}	33.16 ^{c-j}	953.33 ^{g-k}	28.56 ^b	272.26 ^{lh}	77.29 ^{abc}
	(1 in 1000 a nano-Fe + 1.5 in 1000 a nano-Mn chelate)	222.66 ^{de}	133.60 ^{bc}	136.0 ^{def}	484.80 ^b	8.66 ^h	12125 ^{bc}	42.06 ^{bc}	1474.67 ^{hc}	28.45 ^b	419.20 ^b	79.09 ^{ab}

(1 in 1000 a nano-Fe + 3 in 1000 a nano-Mn chelate)	373.33 ^b	269.60 ^a	229.33 ^c	782.53 ^a	10.0 ^{fg}	161.56 ^a	39.33 ^{bed}	1437.33 ^{bed}	29.50 ^a	424.16 ^b	70.38 ^{cdg}	
(3 in 1000 a nano-Fe + 1.5 in 1000 a nano-Mn chelate)	146.66 ^{e-k}	65.46 ^{f-k}	64.53 ^{j-o}	252.0 ^{f-k}	11.66 ^{i-d}	6557 ^{e-k}	39.26 ^{bed}	1086.67 ^{f-i}	29.51 ^a	320.66 ^{de}	78.21 ^{ab}	
(3 in 1000 a nano-Fe + 3 in 1000 a nano-Mn chelate)	198.66 ^{d-g}	133.46 ^{b-c}	154.26 ^d	254.13 ^{f-j}	11.33 ^{b-e}	6316 ^{g-k}	36.06 ^{c-f}	1610.67 ^{ab}	25.13 ^e	405.0 ^b	65.10 ^{gh}	
(Without foliar application)	157.33 ^{f-k}	72.93 ^{e-k}	55.33 ^{l-o}	166.67 ^{i-m}	11.0 ^{c-f}	6004 ^{g-k}	26.03 ^{b-l}	870.67 ^{h-i}	23.81 ^d	207.33 ^{h-i}	52.81 ^j	
(Foliar application pure water)	108.0 ^k	53.86 ^{b-k}	46.13 ^{n-o}	160.4 ^{j-n}	11.33 ^{b-e}	4203 ^{jkl}	37.96 ^{cd}	773.33 ^{k-lm}	24.63 ^{cd}	190.40 ^{j-n}	68.07 ^{efg}	
(1 in 1000 a nano-Fe chelate)	170.66 ^{e-j}	81.06 ^{e-j}	82.40 ^{b-l}	236.93 ^{g-l}	12.0 ^{abc}	6224 ^{g-k}	27.20 ^{c-l}	776.0 ^{k-lm}	25.76 ^c	201.16 ^{i-m}	66.85 ^{fg}	
(3 in 1000 a nano-Fe chelate)	173.33 ^{e-j}	76.0 ^{c-k}	62.26 ^{j-o}	184.67 ^{lm}	12.33 ^{ab}	4355 ^{i-j}	20.20 ^l	837.33 ^{j-m}	27.15 ^b	227.46 ^{ej}	55.31 ^{ij}	
(1.5 in 1000 a nano-Mn chelate)	184.0 ^{lh}	119.86 ^{bed}	145.46 ^{de}	173.47 ^{i-m}	11.33 ^{b-e}	4123 ^{jkl}	38.40 ^{cd}	1042.67 ^{f-j}	27.13 ^b	282.96 ^{lg}	69.36 ^{cg}	
(3 in 1000 a nano-Mn chelate)	117.33 ^{jk}	51.86 ^{ijk}	46.0 ^{no}	158.0 ^{km}	12.33 ^{ab}	4141 ^{jkl}	30.0 ^{d-k}	1154.67 ^{e-g}	28.79 ^a	332.53 ^{cd-e}	66.54 ^{ge}	
Water deficit at vegetative stage	(1 in 1000 a nano-Fe + 1.5 in 1000 a nano-Mn chelate)	165.33 ^{e-k}	78.93 ^{e-j}	83.86 ^{b-l}	192.53 ^{g-m}	11.0 ^{c-f}	4291 ^{jkl}	35.06 ^{c-h}	504.0 ^o	29.05 ^a	146.46 ^{lp}	66.89 ^{fg}
(1 in 1000 a nano-Fe + 3 in 1000 a nano-Mn chelate)	114.66 ^{jk}	57.86 ^{g-k}	45.73 ^{n-o}	158.0 ^{km}	11.0 ^{c-f}	3225 ^l	47.96 ^{ab}	628.0 ^{nm}	28.77 ^a	181.86 ⁱ⁻ⁿ	66.90 ^{fg}	
(3 in 1000 a nano-Fe + 1.5 in 1000 a nano-Mn chelate)	129.33 ^{h-k}	58.20 ^{g-k}	42.0 ^{no}	163.60 ^{i-m}	12.33 ^{ab}	5072 ^{b-l}	27.96 ^{c-l}	449.33 ^{m-o}	29.54 ^a	132.76 ^{lop}	69.24 ^{fg}	
(3 in 1000 a nano-Fe + 3 in 1000 a nano-Mn chelate)	116.0 ^{jk}	42.66 ^k	60.53 ^{b-o}	113.33 ^m	11.33 ^{b-e}	3947 ^{kl}	33.70 ^{c-i}	640.0 ^{mm}	25.33 ^c	161.73 ^{j-o}	65.07 ^{gh}	
LSD (0.05)	58.7	36.0	28.9	94.7	1.17	2702.5	9.36	242.3	0.96	66.57	5.64	

Means in each column and for each treatment, followed by similar letter(s) are not significantly different at 5% of probability level, using LSD Test.

نحوه صفت و گروه مقابله شده، تیمارهای که با حرف یکسان نشان داده شده‌اند، دراین اختلاف معنی‌دار نیستند.

نتایج و بحث

(۲۳/۱۵٪) در شرایط عدم اعمال تنش و محلول‌پاشی توأم سه در هزار نانو کلات آهن و سه در هزار نانو کلات منگنز و بیشترین مقدار پروتئین دانه (۲۹/۵۴٪) نیز در شرایط اعمال تنش کم‌آبی در مرحله رشد زایشی و محلول‌پاشی توأم یک در هزار نانو کلات آهن و سه در هزار نانو کلات منگنز مشاهده گردید. محلول‌پاشی توأم نانو کلات آهن و منگنز می‌تواند اثرات مخرب ناشی از تنش کم‌آبی را بر میزان پروتئین دانه تعديل کند. افزایش پروتئین دانه با کاربرد عناصر آهن، روی و منگنز توسط برخی محققین گزارش شده است (Patel *et al.*, 2002; Navaei and Malakouti, 2002).

با توجه به نتایج حاصل از جدول ۳، اعمال تنش در مراحل رشد رویشی و زایشی به ترتیب ۴۳/۲۰ و ۳۸/۴۲ درصد وزن خشک غلاف با دانه را نسبت به آبیاری مطلوب کاهش داد. بیشترین میزان این صفت مربوط به تیمار تلفیقی تنش در مرحله رشد زایشی و محلول‌پاشی توأم یک در ۱۰۰۰ نانو کلات آهن و سه در ۱۰۰۰ نانو کلات منگنز (۷۸۲/۵ گرم در مترمربع) و کمترین میزان آن مربوط به تیمار تلفیقی اعمال تنش در مرحله رشد رویشی و محلول‌پاشی سه در ۱۰۰۰ نانو کلات آهن و سه در ۱۰۰۰ نانو کلات منگنز (۱۱۱/۳ گرم در مترمربع) و ۱۳ تیمار دیگر بود. گزارش کیمیتی و همکاران (۲۰۰۲) تأیید‌کننده نتایج ذکر شده است (Chimenti *et al.*, 2002).

بیشترین تعداد دانه در غلاف از تیمارهای تلفیقی آبیاری مطلوب و محلول‌پاشی سه در ۱۰۰۰ نانو کلات آهن و آبیاری مطلوب و محلول‌پاشی توأم یک در ۱۰۰۰ نانو کلات آهن و یک و نیم در ۱۰۰۰ نانو کلات منگنز (۱۲/۶۶) و ۹ تیمار دیگر به دست آمد. کمترین مقدار این صفت نیز در تیمار تلفیقی اعمال تنش در مرحله رشد زایشی و محلول‌پاشی یک و نیم در ۱۰۰۰ نانو کلات منگنز (۸/۰) و سه تیمار دیگر مشاهده شد (جدول ۳). محلول‌پاشی نانو کلات آهن در شرایط اعمال تنش در مرحله رشد رویشی موجب افزایش تعداد دانه در غلاف شد که احتمالاً به دلیل تأثیر این عنصر در افزایش توان مقاومت سیستم آنتی‌اکسیدانی گیاه در برابر اثرات مخرب ناشی کمبود آب در مرحله رشد رویشی می‌باشد. محققان گزارش‌های مشابهی را اعلام کردند (Morrison and Stewart, 2002; Champolivier and Morrison, 1996).

با توجه به نتایج حاصل از این مطالعه بیشترین تعداد دانه در مترمربع از تیمار تلفیقی آبیاری مطلوب و محلول‌پاشی توأم یک در ۱۰۰۰ نانو کلات آهن و یک و نیم در ۱۰۰۰ نانو کلات منگنز (۱۶۵/۴۵) حاصل شد که با تیمار تنش در مرحله رشد زایشی و محلول‌پاشی توأم یک در ۱۰۰۰ نانو کلات آهن و سه در ۱۰۰۰ نانو کلات منگنز (۱۶۱/۵۶) و تیمار تنش در مرحله رشد رویشی و محلول‌پاشی سه در ۱۰۰۰ نانو کلات آهن (۱۳۹/۹۹) دارای اختلاف معنی‌داری نبود. کمترین مقدار این صفت مربوط به تیمار تنش در

نتایج حاصل از تجزیه واریانس نشان داد که اثر اصلی تنش کم‌آبی برای همه‌ی صفات مورد مطالعه به جز درصد پروتئین و وزن ۱۰۰۰ دانه، اثر محلول‌پاشی برای تمام صفات مورد بررسی و نیز اثر متقابل تنش کم‌آبی × محلول‌پاشی در مورد تمام صفات به جز صفت منگنز دانه در سطح احتمال یک درصد معنی‌دار بود (جدول ۲). نتایج حاصل از مقایسه میانگین اثر متقابل تنش کم‌آبی × محلول‌پاشی نشان داد که بیشترین تعداد برگ مربوط به تیمار آبیاری مطلوب و محلول‌پاشی یک در ۱۰۰۰ نانو کلات آهن با ۴۳۷/۳ برگ در مترمربع بود. ۱۵ تیمار (دارای حرف k) کمترین تعداد برگ در مترمربع را داشتند. وزن خشک برگ در تیمارهای آبیاری مطلوب و محلول‌پاشی یک در ۱۰۰۰ نانو کلات آهن (۴۳۷/۳) برگ در مترمربع، یک در ۱۰۰۰ نانو کلات آهن و یک و نیم در ۱۰۰۰ نانو کلات منگنز و قطع آبیاری در مرحله زایشی و محلول‌پاشی توأم یک در ۱۰۰۰ نانو کلات آهن و سه در ۱۰۰۰ نانو کلات منگنز بیش از تیمارهای دیگر بود. کمترین وزن خشک برگ مربوط به ۱۱ تیمار بود که هیچ کدام مربوط به آبیاری مطلوب نبود (جدول ۴).

به طور کلی، صرف نظر از سطوح مختلف تنش کم‌آبی، در اثر محلول‌پاشی نانو کلات آهن و منگنز مقادیر مربوط به تمام صفات مورد بررسی از جمله تعداد و وزن خشک برگ افزایش یافت (جدول ۳). نتایج دیگر محققان نیز حاکی از افزایش وزن خشک برگ و اندام هوایی در نتیجه‌ی استفاده از عناصر آهن و منگنز می‌باشد (Jabeen and Rafiq, 2011; Zayed *et al.*, 2011).

با توجه به نقش ساختاری عناصر آهن و منگنز در سنتز پروتئین‌ها، با مصرف این عناصر، مقاومت گیاهان تحت تنش‌های محیطی مورد انتظار است (Cakmak, 2000). نتایج مقایسه میانگین نشان داد که بالاترین مقدار وزن خشک ساقه مربوط به تیمار آبیاری مطلوب و محلول‌پاشی یک در ۱۰۰۰ نانو کلات آهن (۴۲۷/۵ گرم در مترمربع) و کمترین مقدار این صفت نیز مربوط به تیمار اعمال تنش در مرحله رشد زایشی و بدون محلول‌پاشی (۳۷/۴۶ گرم در مترمربع) و ۱۰ تیمار دیگر بود (جدول ۳). اعمال تنش کمبود آب در مرحله رشد زایشی (۳۷/۵۶ درصد و در مرحله رشد رویشی ۷/۷۸ درصد) نسبت به آبیاری مطلوب موجب کاهش وزن خشک ساقه گردید. محققان در بررسی‌های خود به این نتیجه رسیدند که مصرف یک و نیم کیلوگرم در هکتار کلات آهن به شکل نانو در مقایسه با شکل ساقه کلیوگرم در هکتار کلات آهن به شکل نانو در مقایسه با شکل ساقه و طول ریشه گیاه ریحان را افزایش داد (Parande and Mirza, 2011). نتایج حاصل از مقایسه میانگین‌های اثرات متقابل تنش کم‌آبی در محلول‌پاشی نشان داد که کمترین مقدار پروتئین دانه

شن دانه‌ها اجتناب نمود (Göksoy *et al.*, 2004).

تشن کم‌آبی در مرحله رشد زایشی در شرایط عدم محلول‌پاشی با کاهش عملکرد دانه، باعث کاهش عملکرد پروتئین شد. محققان گزارش کردند که عدم محلول‌پاشی محتوای پروتئین کل را در شرایط تنش رطوبتی کاهش می‌دهد (Fathi amirkhiz *et al.*, 2011). عنصر آهن برای ساخت پروتئین ضروری است؛ به طوری که تعداد RhizoZoom سلول‌های برگ با کمیود این عنصر کاهش می‌یابد (Rhode, 1999). ترکیب عناصر آهن و منگنز با افزایش سنتز پروتئین‌های محلول و افزایش فتوستنتز در تعییر و تبدیل کریون فتوستنتزی در شرایط تنش مؤثر است (Jafar dokht *et al.*, 1984; Savithri *et al.*, 1984; 2015). کمترین مقدار عملکرد پروتئین دانه (۹۰/۷۶ کیلوگرم در هکتار) در شرایط تنش در مرحله رشد زایشی و عدم اعمال محلول‌پاشی و بیشترین مقدار عملکرد پروتئین دانه (۵۱۹/۲ کیلوگرم در هکتار) نیز در شرایط عدم اعمال تنش کم‌آبی و محلول‌پاشی توأم یک در ۱۰۰۰ نانو کلات آهن و سه در ۱۰۰۰ نانو کلات منگنز مشاهده گردید (جدول ۳). تنش در مرحله رشد زایشی به علت کاهش طول دوره پر شدن دانه‌ها و نیز عدم جذب کافی عناصر کم‌صرف موجب کاهش عملکرد پروتئین در این تیمار شد که با نتایج محققان دیگر مبنی بر کاهش عملکرد پروتئین در شرایط تنش کم‌آبی و عدم کاربرد محلول‌پاشی مطابقت داشت (Jafar dokht *et al.*, 2015).

بیشترین مقدار آهن دانه در تیمار عدم اعمال تنش و محلول‌پاشی یک در هزار نانو کلات آهن (۸۰/۶۱ میلی‌گرم بر کیلوگرم) و کمترین مقدار آن در تیمار اعمال تنش در مرحله رشد زایشی و عدم اعمال محلول‌پاشی (۵۲/۸۱ میلی‌گرم بر کیلوگرم) مشاهده شد (جدول ۳). نتایج مطالعه‌ی حاضر با (Jabbari *et al.*, 2014) در مورد محلول‌پاشی آهن هم خوانی داشت. بر اساس نتایج حاصل از جدول ۴ تنش در دوره رشد زایشی (۲۶/۲۳٪) بیشتر از تنش در دوره رشد رویشی (۱۷/۱۹٪) باعث کاهش غلظت منگنز در دانه نسبت به شاهد آبیاری شد. نتایج حاصل از جدول ۴ نیز مشخص کرد که محلول‌پاشی توأم یک در هزار نانو کلات آهن و سه در هزار نانو کلات منگنز منجر به افزایش این عنصر به میزان (۲۲/۸۶٪) نسبت به تیمار بدون محلول‌پاشی شد. با توجه به کاهش جذب عناصر توسط دانه به نظر می‌رسد که علت این امر کاهش شدید عملکرد دانه با افزایش شدت تنش کم‌آبی است که موجب کوچک شدن مخزن فیزیولوژیک عناصر (دانه) و در نتیجه کاهش کل جذب عناصر در دانه گردیده است. همچنین براساس نظر پژوهشگران تنش خشکی در مرحله زایشی انتقال عناصر آهن و منگنز را به دانه محدود می‌کند (Heidari and Jahantighi, 2013).

مرحله رشد رویشی و محلول‌پاشی یک در ۱۰۰۰ نانو کلات آهن و سه در ۱۰۰۰ نانو کلات منگنز (۳۲۲۵) بود (جدول ۳). وقتی گیاه در معرض تنش خشکی قرار می‌گیرد، برای این‌که از اثرات تنش خشکی فرار کند اقدام به کوتاه کردن دوره رشد خود می‌کند بنابراین، بهدلیل کوتاه‌تر شدن طول دوره پر شدن دانه، وزن نهایی دانه‌ها و تعداد دانه کم می‌شود. ساویتری و همکاران (Savithri *et al.*, 1984) دریافتند که مصرف ۲۵ یا ۵۰ کیلوگرم سولفات منگنز، ۲۵ کیلوگرم در هکتار سولفات روی و ۱۰۰ کیلوگرم سولفات آهن در هکتار موجب افزایش تعداد دانه در بوته و عملکرد دانه سویا می‌گردد.

مقایسه میانگین‌های وزن ۱۰۰۰ دانه نشان می‌دهد که بیشترین وزن ۱۰۰۰ دانه با ۵۵/۴۶ گرم از ترکیب تیماری محلول‌پاشی آب خالص و آبیاری کامل و همچنین تنش در مرحله رشد رویشی و محلول‌پاشی یک در ۱۰۰۰ نانو کلات آهن و سه در ۱۰۰۰ نانو کلات منگنز بهدست آمد. کمترین وزن ۱۰۰۰ دانه با ۲۰/۲ گرم از اعمال تنش کمبود آب در مرحله رشد رویشی و محلول‌پاشی سه در ۱۰۰۰ نانو کلات آهن و ۱۱ تیمار دیگر حاصل شد (جدول ۳).

با اعمال تنش کمبود آب، در هر مرحله از رشد گیاه که باشد، عملکرد دانه همیشه تحت تأثیر قرار می‌گیرد (Bouchereau *et al.*, 1996) بنابراین، محلول‌پاشی یک راهکار مناسب برای کاهش اثرات ناشی از تنش خشکی محسوب می‌شود. نتایج حاصل از مقایسات میانگین اثر متقابل محلول‌پاشی × تنش کم‌آبی نشان داد که بیشترین مقدار عملکرد دانه در تیمار آبیاری مطلوب و محلول‌پاشی توأم یک در ۱۰۰۰ نانو کلات آهن و سه در ۱۰۰۰ نانو کلات منگنز (۱۷۶۵ کیلوگرم در هکتار) و کمترین مقدار آن مربوط به تیمار تنش در مرحله رشد زایشی و عدم اعمال محلول‌پاشی (با ۳۷۶ کیلوگرم در هکتار) و چهار تیمار دیگر بود (جدول ۳). بهنظر می‌رسد در این آزمایش، علت افزایش عملکرد دانه تأثیر عناصر آهن و منگنز بر کاهش ریزش گل و غلاف ناشی از تنش بوده است. بنابراین، با توجه به آثار ناشی از تنش کم‌آبی چنین احتمالی وجود دارد که انجام محلول‌پاشی نانو کلات آهن و منگنز، می‌تواند با تحریک رشد و تقسیم سلولی، دانه را به یک مخزن قوی مبدل ساخته و در نتیجه با پذیرفتن مواد فتوستنتزی بیشتر، مقادیر ماده خشک بیشتری در دانه ذخیره گردد. همچنین، کاهش عملکرد در شرایط تنش در مرحله رشد زایشی متأثر از کاهش تعداد دانه در غلاف بوده است. اغلب نتایج محققین نیز حاکی از تأثیر منفی و معنی‌دار تنش خشکی بر عملکرد و اجزای عملکرد گیاهان بهخصوص در دوره رشد زایشی گیاه می‌باشد و قاعده‌تاً برای دستیابی به حداکثر عملکرد می‌باشد از برخورد گیاه با تنش خشکی بهخصوص در سه مرحله ظهور غلاف‌ها، گلدهی و شیری

جدول ۴- مقایسه میانگین اثرات اصلی تنش کم‌آبی و محلول‌پاشی برای صفت منگنز دانه

Table 4- Mean comparison effects of water deficit and foliar application for seed manganese content

(Water deficit) (Tension K-Min)	Optimum irrigation	16.41 ^a
Water deficit at Reproductive stage		13.59 ^b
Water deficit at Vegetative stage		12.10 ^c
	LSD (0.05)	0.719
(Foliar application) (Molophil-pash)	(Without foliar application)	12.09 ^e
	(Foliar application pure water)	13.52 ^d
	(1 in 1000 a nano-Fe chelate)	14.83 ^{ab}
	(3 in 1000 a nano-Fe chelate)	13.96 ^{cd}
	(1.5 in 1000 a nano-Mn chelate)	14.23 ^{bc}
	(3 in 1000 a nano-Mn chelate)	14.8 ^{ab}
	(1 in 1000 a nano-Fe + 1.5 in 1000 a nano-Mn chelate)	14.8 ^{ab}
	(1 in 1000 a nano-Fe + 3 in 1000 a nano-Mn chelate)	14.86 ^a
	(3 in 1000 a nano-Fe + 1.5 in 1000 a nano-Mn chelate)	14.67 ^{ab}
	(3 in 1000 a nano-Fe + 3 in 1000 a nano-Mn chelate)	12.55 ^e
	LSD (0.05)	0.600

میانگین‌هایی که در دیف تنش کم‌آبی و محلول‌پاشی، حداقل دارای یک حرف مشترک هستند، بر اساس آزمون LSD، تفاوت معنی‌داری با یکدیگر ندارند.

Similar letters in each column and each level water deficit indicate no significant difference according to LSD 5% Test

عملکرد دانه و سایر صفات مورد ارزیابی در این آزمایش دارا بود. بنابراین به نظر می‌رسد که استفاده از کودهای نانو کلات آهن و منگنز در تغذیه گیاه ماش تحت شرایط مناطق خشک و کم آب نقش قابل ملاحظه‌ای در کاهش اثرات سوء تنش کمبود آب و بهبود عملکرد و اجزای عملکرد گیاه داشته باشد، البته استفاده از ترکیب یتیمار عناصر نانو کلات بستگی به شدت تنش کمبود آب خواهد داشت.

نتیجه‌گیری

نتایج حاصل از این پژوهش نشان داد که تنش کم‌آبی در هر دو مرحله رویشی و زایشی اثر معنی‌داری بر کاهش عملکرد دانه ماش دارد. اما اعمال تنش در مرحله زایشی بیشترین تأثیر را بر کاهش عملکرد دانه و سایر صفات مورد ارزیابی در این تحقیق داشت. همچنین مشاهده شد که مرحله زایشی حساس‌ترین مرحله گیاه به تنش کم‌آبی می‌باشد. در بین عناصر نانو کلات، عنصر آهن به صورت منفرد و همچنین در ترکیب با عنصر منگنز، بیشترین تأثیر را بر

References

- Balakrishnan, K. 2000. Peroxidase activity as an indicator of the iron deficiency in banana. Indian Journal of Plant Physiology 5 (4): 389-391.
- Bouchereau, A., Clossais-Besnard, N., Bensaoud, A., Leport, L., and Renard, A. M. 1996. Water stress effects on rapeseed quality. European Journal of Agronomy 5 (1-2): 19-30.
- Cakmak, I. 2000. Tansley Review No. 111 Possible roles of zinc in protecting plant cells from damage by reactive oxygen species. The New Phytologist 146 (2): 185-205.
- Chamadolivier, L., and Merrien, A. 1996. Effects of water stress applied at different growth stages to *Brassica napus* L. var. oleifera on yield, yield components and seed quality. European Journal of Agronomy 5 (3-4): 153-160.
- Chimenti, C. A., Pearson, J., and Hall, A. J. 2002. Osmotic adjustment and yield maintenance under drought in sunflower. Field Crops Research 75 (2-3): 235-246.
- El Hafid, R., Smith, D. H., Karrou, M., and Samir, K. 1998. Physiological responses of spring durum wheat cultivars to early-season drought in a Mediterranean environment. Annals of Botany 81 (2): 363-370.
- Ezzat, M., Abd El Lateef, M. M., Tawfik, M., Hozyin, B. A., Bakry, T. A., Elewa, A. A., Farrag, and Amany, A Bahr. 2012. Soil and foliar fertilization of mungbean (*Vigna radiata* (L.) wilczek) under Egyptian conditions. Elixir Agriculture 47: 8622-8628.
- Fageria, N. K., and Baligar, V. C. 2001. Lowland rice response to nitrogen fertilization. Communications in Soil Science and Plant Analysis 32 (9-10): 1405-1429.
- Fathi amirkhiz, K., Amini Dehaghi, M., Modarres Sanavi, S. A. M., and Heshmati, S. 2011. The Effects of Soil and Foliar Application of Fe on some Biochemical Characteristics of Safflower (*Carthamus tinctorius* L.) under Two Irrigation Regimes. Iranian Journal of Field Crop Science 42 (3): 509-518. (in Persian with English abstract).
- Firouzabadi, B., and Farahani, I. 2013. Effect of Planting Date on Seed Yield and Its Components of Mungbean

- (*Vigna radiata* L.) Genotypes in Varamin Region in Iran. *Seed and Plant Production* 29 (3): 387-401. (in Persian with English abstract).
11. Göksoy, A. T., Demir, A. O., Turan, Z. M., and Dağıstü, N. 2004. Responses of sunflower (*Helianthus annuus* L.) to full and limited irrigation at different growth stages. *Field Crops Research* 87 (2-3): 167-178.
 12. Graham, P. H., and Vance, C. P. 2003. Legumes: importance and constraints to greater use. *Plant physiology* 131 (3): 872-877.
 13. Heidari, M., and Jahantighi, H. 2013. Evaluate Effect of Water Stress and Different Amounts of Nitrogen Fertilizer on Seed Quality of Black Cumin (*Nigella sativa* L.). *Iranian Journal of Field Crops Research* 11 (4): 640-647. (in Persian with English abstract).
 14. Jabbari, H., Akbari, A., Khosh kholgh Sima, N., Alahdadi, I., Shirani rad, A., Tabatabaee, S., and Hamed, S. 2014. Comparison of antioxidant enzymes and proline roles in drought tolerance of rapeseed (*Brassica napus* L.). *Journal of Oil Plant Prudaction* 3 (1):15-31. (in Persian with English abstract).
 15. Jabeen, N., and Ahmad, R. 2011. Effect of foliar-applied boron and manganese on growth and biochemical activities in sunflower under saline conditions. *Pakistan Journal of Botany* 43 (2): 1271-1282.
 16. Jafar dokht, R., Mosavi Nik, S. M., Mehraban, A., and Basiri, M. 2015. Effect of water stress and foliar micronutrient application on physiological cahracteristics and nutrient uptake in mung bean. *Electronic Journal of Crop Production* 8 (1): 121-141. (in Persian with English abstract).
 17. Khodabakhsh, F., Amooaghaie, A., Mostajeran, A., and Emtiazi, G. 2011. Effect of hydro and osmopriming in two commercial chickpea cultivars on germination, growth parameters and nodules number in salt stress condition. *Iranian Journal of Plant Biology* 2 (6): 71-86. (in Persian with English abstract).
 18. Maleki Farahani, S., Khalesi, A., and Sharghi, Y. 2015. Effect of Nano Iron Chelate Fertilizer on Iron Absorption and Saffron (*Crocus sativus* L.) Quantitative and Qualitative Characteristics. *Asian Journal of Biological Sciences* 8: 72-82.
 19. Martin, D. L., Stegman, E. C., and Fereres, E. 1990. Irrigation scheduling principles. IN: Management of Farm Irrigation Systems. American Society of Agricultural Engineers, St. Joseph, MI. 1990. p 155-203, 19 fig, 9 tab, 81 ref.
 20. Martt, J. 1990. *Grain Legumes: Evolution and Genetic Resources*. Cambridge University Press.
 21. Monica, R. C., and Cremonini, R. 2009. Nanoparticles and Higher Plants. *Caryologia* 62 (2): 161-65.
 22. Morrison, M. J., and Stewart, D. W. 2002. Heat stress during flowering in summer Brassica. *Crop science* 42 (3): 797-803.
 23. Navaei, F., and Malakouti, M. J. 2002. Study of effect of balance nourishment of elements on quantitaive and quality of corn. *Iranian Journal of Soil and Waters Sciences* 16: 161-168. (in Persian with English abstract).
 24. Novozamsky, I., Van Eck, R., Van Schouwenburg, J. Ch., and Walinga, I. 1974. Total Nitrogen Determination in Plant Material by Means of the Indophenol-Blue Method. *Netherlands Journal of Agricultural Science*.
 25. Parande, H., and Mirza, M. 2011. Comparison of Nano Fe Chelate with Fe Chelate Effect on Growth Parameters and Antioxidant Enzymes Activity of *Ocimum Basilicum*. *New Cellular and Molecular Biotechnology Journal* 1 (4): 89-98.
 26. Patel, M. S., Sutar, D. M., and Kanizaria, M. V. 1993. Effect of foliar application of iron and sulfur in curing chlorosis in groundnut. *Journal of the Indian Society of Soil Science* 41: 103-105.
 27. Rhode, T. E. 1999. Integrating Urban and Agriculture Water Management in Southern Morocco. *Arid Lands News Letter* 45.
 28. Ruiz, J. A., Perez-Vendrell, A. M., and Esteve-Garcia, E. 2000. Effect of dietary iron and copper on performance and oxidative stability in broiler leg meat. *British Poultry Science* 41 (2): 163-167.
 29. Ruiz, J. M., Baghour, M., and Romero, L. 2000. Efficiency of the Different genotypes of tomato in relation to foliar content of Fe and the response of some Bioindicators. *Journal of Plant Nutrition* 23 (11-12): 1777-86.
 30. SAS Institute. 1985. *SAS user's guide: statistics*, SAS Institute (2).
 31. Savithri, P., Boshani, N. K., Manickam, T. S., and Kothandaraman, G. V. 1984. Response of soybean to micronutrient application. *Madras agricultural journal*.
 32. Taiz, L., and Zeiger, E. 2002. *Plant Physiology*, 3rd. edition. Sinauer Associates, Inc., Publishers. Sunderland, Massachusetts. USA.
 33. Torabian, S., and Zahedi, M. 2013. Effects of Foliar Application of Common and Nano-sized of Iron Sulphate on the Growth of Sunflower Cultivars under Salinity. *Iranian Journal of Field Crop Science* 44 (1): 109-118. (in Persian with English abstract).
 34. Uddin, S., and Parvin, S. 2013. Yield Performance of Mungbean (*Vigna radiata* L.) as Influenced by Irrigation. *International Journal of Agronomy and Plant Production* 4 (1): 3659-3667.
 35. Vanclooster, M., Gonzalez, C., Vanderborgh, J., Mallants, D., and Diels, J. 1994. An indirect calibration procedure for using TDR in solute transport studies. *Soil Science Society of American Journal* 3: 107-127.
 36. Welch, R. M., Allaway, W. H., House, W. A., and Kubota, J. 1991. Geographic Distribution of Trace Element

- Problems. Micronutrients in agriculture micronutrientsi 2: 31-57.
37. Zayed, B. A., Salem, A. K. M., and Sharkawy, H. M. El., 2011. Effect of different micronutrient treatments on rice (*Oriza Sativa L.*) growth and yield under saline soil conditions. World Journal of Agricultural Sciences 7 (2): 179-84.
38. Zhu, H., Han, J., Xiao, J. Q., and Jin, Y. 2008. Uptake, translocation, and accumulation of manufactured iron oxide nano particles by pumpkin plants. Journal of Environmental monitoring 10 (6): 713-17.



Effect of Nano Iron and Manganese Fertilizers on Mung Bean Growth and Yield in Water Deficit Stress Condition

Y. Izadi^{1*}- S. A. M. Modares Sanavey²

Received: 10-06-2018

Accepted: 11-01-2018

Introduction

Pulse crops have a huge role in Agriculture and daily life. The mung bean (*Vigna radiata* L. Wilczek) is one of the most important pulse crops in the world. It is a protein rich staple food and contains about 25 percent protein. Producing higher potential yield in comparison with other crops, is one of the greatest feature of the mung bean crop. Also, it improves the soil fertility by fixing the atmospheric nitrogen. Water deficit affects different growth and development stages of mung bean. In this regard, choosing the landraces and suitable cultivars and nutrition and irrigation management, play an important role in increasing of quantity and quality of pulses and reduce of negative effects of various environmental stresses on plants. The present research aimed to study the effect of water deficit stress on quantity and quality mung bean traits, Parto variety under applied and non-applied of foliar application of nano-iron and manganese chelates.

Materials and Methods

In order to study the effects of water deficit stress on reduction of quality traits of *Vigna Radiata* (Parto variety) under iron and manganese nano-chelate foliar application, an experiment was conducted as split-plot management in randomized complete block design with three replications during 2013-2014 in the research farm of agricultural college, Tarbiat Modares University. To determine the nature of soil, the amount of mineral elements (nitrogen, iron and manganese), the percent of organic carbon and soil acidity were sampled from zero depth to 30 centimeter and from 30 to 60 centimeters of soil in the zigzag pattern. Experimental treatments in main plots were three levels of irrigation regime (optimum irrigation, water deficit at reproductive stage and water deficit at vegetative stage) and in subplots were 10 levels of foliar application (without foliar application, foliar application pure water, one in a thousand a nano-Fe chelate, three in thousand a nano-Fe chelate, 1.5 in thousand a nano-Mn chelate, three in thousand a nano-Mn chelate, one in thousand a nano-Fe + 1.5 in thousand a nano-Mn chelate, one in thousand a nano-Fe + three in thousand a nano-Mn chelate, three in thousand a nano-Fe + 1.5 in thousand a nano-Mn chelate, three in thousand a nano-Fe + three in thousand a nano-Mn chelate) at withholding irrigation stage. SAS software has been used to analysis data, the analyses parameters were including variance and means comparison have been compared by using the LSD Test at probability level of 5%.

Results and Discussion

The results showed that water deficit stress and iron and manganese nano-chelate foliar application were significant for the most of plant traits at 1% probability level. Among of water deficit stress levels, the lowest yield and yield components for most traits, stress at reproductive stage and the highest amount in control (optimum irrigation). Also, the highest yield and yield component was achieved from different levels of iron and manganese nano-chelate spraying at the vegetative and reproductive stage, especially in the vegetative growth stage, while control spraying (no spray) led to decreasing yield and yield components in plant. Also, interaction between two main treatments were significant for the most of the traits at 1% probability level.

Conclusions

It can be concluded that water deficit stress at the reproductive stage had the most effect on reducing grain yield, protein yield and yield components, and using nanoparticles had the highest rates of grain yield, yield component and protein yield. The effects of water deficit can be reduced by spraying of nano-Fe and nano-Mn

1- Ph. D. Student, Faculty of Agriculture, Shahid Chamran University of Ahvaz, Ahvaz, Iran

2- Professor, Faculty of Agriculture, Tarbiat Modares University of Tehran, Tehran, Iran

(*- Corresponding Author Email: izady.nike70@gmail.com)

chelated. Also, it was observed that reproductive stage is the most vulnerable stage of the plant to the water deficit stress. Stress in this stage causes protein reduction by the plant and seed filling period. Regarding the effects resulted from water deficit stress, it is possible that spraying nano-chelated iron and manganese can make the seed a rich source by stimulating growth and cell division and as a result, more amount of dry material is preserved within the seed by adopting more photosynthetic materials. Among nano-chelated elements, iron and also mixed with manganese had the most effect on the seed yield and other studied traits in this test. Thus, it is suggested that these elements can be utilized as a factor for removing or decreasing stress and also increasing the production efficiency in the plants.

Keywords: Pulses, Protein yield, Seed yield, Water stress